

กระบวนการการเกิดใหม่ของพอลิเมอร์สมชั้น
พอลิเอทิลีนรูปแบบใหม่แนวสูงและยางธรรมชาติ



นางสาวสุรรณา ถินนาคร

วิทยานิพนธ์นี้เป็นส่วนหนึ่งของการศึกษาตามหลักสูตรปริญญาวิทยาศาสตร์ตามบังคับพิเศษ
สาขาวิชาปิโตรเคมีและวิทยาศาสตร์พอลิเมอร์
หลักสูตรวิชาปิโตรเคมีและวิทยาศาสตร์พอลิเมอร์
บัณฑิตวิทยาลัย จุฬาลงกรณ์มหาวิทยาลัย

ปีการศึกษา 2541

ISBN 974-331-863-1

ผู้อธิบายของบัณฑิตวิทยาลัย จุฬาลงกรณ์มหาวิทยาลัย

**FOAMING PROCESS OF
HIGH-DENSITY POLYETHYLENE AND NATURAL RUBBER BLENDS**

Miss Suratchana Thinakom

A Thesis Submitted in Partial Fulfillment of the Requirements
for the Degree of Master of Science in Petrochemistry and Polymer Science
Program of Petrochemistry and Polymer Science
Graduate School
Chulalongkorn University
Academic Year 1998
ISBN 974-331-863-1

Thesis title FOAMING PROCESS OF HIGH-DENSITY POLYETHYLENE
 AND NATURAL RUBBER BLENDS

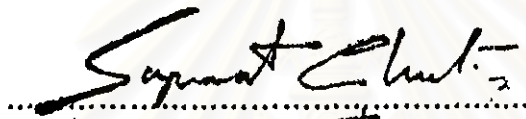
By Miss Suratchana Thinakom

Department Petrochemistry and Polymer Science

Thesis Advisor Associate Professor Suda Kiatkamjomwong, Ph.D.

Thesis Co-advisor Mr. Pienpak Tasakom, Ph.D.

Accepted by the Graduate School, Chulalongkorn University in Partial
Fulfillment of the Requirements for Master's Degree



Dean of Graduate School

(Professor Supawat Chutivongse, M.D.)

Thesis Committee



Chairman

(Professor Pattrapan Prasarakich, Ph.D.)



Thesis Advisor

(Associate Professor Suda Kiatkamjomwong, Ph.D.)



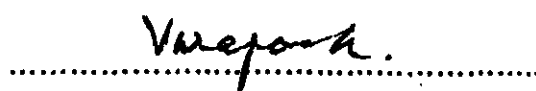
Thesis Co-advisor

(Mr. Pienpak Tasakom, Ph.D.)



Member

(Associate Professor Anantasin Techangumpuch, Ph.D.)



Member

(Mrs. Varaporn Kajomchaiyakul, M.Phil.)

สุรัณนา ดินนาร: กระบวนการเกิดฟองของพอลิเมอร์ผสมของพอลิเอทิลีนชนิดความหนาแน่นสูงและยางธรรมชาติ (FOAMING PROCESS OF HIGH-DENSITY POLYETHYLENE AND NATURAL RUBBER BLENDS) อ.ที่ปรึกษาวิทยานิพนธ์: ดร. ดร. สุดา เกียรติกำจัดวงศ์ อ.ที่ปรึกษาวิทยานิพนธ์: ร่วม: ดร. เพียรพรวรค หักครุ, 136 หน้า ISBN 974-331-863-1

งานวิจัยนี้ศึกษาปัจจัยต่าง ๆ ที่มีอิทธิพลต่อโครงสร้างและสมบัติของฟองพอลิเมอร์ผสมของพอลิเอทิลีนชนิดความหนาแน่นสูง(HDPE)/ยางธรรมชาติ (NR) ซึ่งได้แก่ เเวลาในการให้ความร้อน, ปริมาณตัวพู, อัตราส่วนระหว่าง HDPE/NR, ปริมาณสารเรื่องขาวไม่เลกฤต, และอัตราส่วนระหว่าง HDPE/NR ที่ปริมาณสารเรื่องขาวไม่เลกฤตที่ โดยมีวัตถุประสงค์เพื่อเข้าใจถึงกระบวนการเกิดฟองและเพื่อควบคุมกระบวนการผลิตฟองของ HDPE/NR ที่มีคุณภาพดี

การเตรียมฟองของพอลิเมอร์ผสมของ HDPE/NR ประกอบด้วย พอลิเอทิลีนชนิดความหนาแน่นสูง, ยางธรรมชาติ, ตัวพูทางเคมี, และสารเรื่องขาวไม่เลกฤต ทำการผสมส่วนประกอบดังกล่าวด้วยเครื่องบดผสม 2 ถูก กลึง จากนั้นทำให้เกิดฟองโดยการขัดแบบขันดอนเดียว

จากการทดลองพบว่า เวลาในการให้ความร้อนที่เหมาะสมในการเกิดฟองคือ 20 นาที อัตราส่วนระหว่าง HDPE/NR มีอิทธิพลอย่างมากต่อสมบัติเชิงกลและโครงสร้างของฟองพอลิเมอร์ผสมของ HDPE/NR กล่าวคือ ที่อัตราส่วนในการผสมระหว่าง HDPE/NR มีค่าสูง โครงสร้างของเซลล์ถูกทำลายและสมบัติเชิงกลมีค่าต่ำ การเติมสารเรื่องขาวไม่เลกฤตทำให้ค่าความแข็ง, และความหนาแนงดึงตื้รื้น ขนาดของเซลล์โดยเฉลี่ยลดลงเมื่อปริมาณสารเรื่องขาวไม่เลกฤตเพิ่มขึ้น ปริมาณสารเรื่องขาวไม่เลกฤตที่เหมาะสมสำหรับการผสมที่มียางธรรมชาติ 30 ส่วน ต่อร้อยส่วนพอลิเมอร์ คือ 0.6 ส่วนต่อร้อยส่วนพอลิเมอร์

สถาบันวิทยบริการ จุฬาลงกรณ์มหาวิทยาลัย

ภาควิชา
สาขาวิชา มีครุศาสตร์และวิทยาศาสตร์เคมี
ปีการศึกษา ๒๕๔๑

ลายมือชื่อนักศึกษา ภูมิภานุ ภัทร์
ลายมือชื่ออาจารย์ที่ปรึกษา ดร. ไชยวัฒน์ ไชยวัฒน์
ลายมือชื่ออาจารย์ที่ปรึกษาร่วม ดร. ไชยวัฒน์ ไชยวัฒน์

3972258123 : MAJOR POLYMER SCIENCE

KEY WORD:

FOAM / BLOWING AGENT / POLYMER BLENDS

SURATCHANA THINAKORN: FOAMING PROCESS OF HIGH-DENSITY POLYETHYLENE AND NATURAL RUBBER BLENDS. THESIS ADVISOR: ASSOC. PROF. SUDA KIATKAMJORNWONG, Ph.D. THESIS CO-ADVISOR: MR. PIENPAK TASAKORN, Ph.D.
136 pp. ISBN 974-331-863-1

Studies were made of various factors affecting the structures and properties of high-density polyethylene (HDPE)/natural rubber (NR) foam such as heating time, blowing agent loading, HDPE/NR ratio, cross-linking agent loading, and ratio of HDPE/NR at a fixed cross-linking agent loading. The objectives were to gain insight into the foaming in the production process and to control foaming process for the manufacturing of good quality HDPE/NR foam.

Preparation of the HDPE/NR foam, comprises basically of a high-density polyethylene, natural rubber, Epolene wax, a chemical blowing agent, and a cross-linking agent. The HDPE/NR blends were prepared on a two-roll mill. Subsequently, foamed structures of the blends were obtained by a single stage compression molding.

The results showed that the suitable heating time in this foaming process was 20 minutes. The HDPE/NR ratios had a significant effect on the mechanical properties and cell structure of HDPE/NR foams. At high ratio of HDPE/NR blend, the cells shape were distorted and the lower mechanical properties occurred. Adding the cross-linking agent could improve hardness and tensile strength. The average cell size decreased with increasing cross-linking agent loading. The suitable cross-linking agent loading for 30 pphp the blend containing NR was 0.6 pphp cross-linking agent.

ภาควิชา..... สาขาวิชา..... ปี๒๕๖๑ เอกสารนี้เป็นของมหาวิทยาลัย
สาขาวิชา..... สาขาวิชา..... สาขาวิชา.....
ปีการศึกษา..... 1998 ลายมือชื่อนักศึกษา..... ลายมือชื่ออาจารย์ที่ปรึกษา..... ลายมือชื่ออาจารย์ที่ปรึกษาร่วม.....

ACKNOWLEDGEMENTS

I would like to acknowledge my sincere gratitude to my thesis advisor, Associate Professor Suda Kiatkamjomwong, Ph.D. and co-advisor Dr. Pienpak Tassakom, for their supervision, helpful guidance, valuable advice, reviewing the writing of the thesis and kindness throughout the course of this research. My grateful appreciation goes to the members of the thesis committee for their comments, suggestions, and time to review the thesis. Appreciations are also expressed to the Graduate School of Chulalongkorn University for the partial financial support, Thai Petrochemical Industry Public Co., Ltd. for support high density polyethylene resin, Rubber Research Institute of Thailand for supporting blocks of natural rubber, National Metal and Materials Technology Center for the polymer testing and the Department of Photographic Science and Printing Technology for providing the laboratory facilities. In addition, I wish to thanks everyone in Polymer Imaging lab for their kind contributions.

A special note of gratitude to my parents for their love and many thanks for my friends, help, understanding and encouragement throughout the study for the Masters degree.

สถาบันวิทยบริการ
จุฬาลงกรณ์มหาวิทยาลัย

CONTENTS

	PAGE
ABSTRACT (in Thai)	iv
ABSTRACT (in English)	v
ACKNOWLEDGMENTS	vi
CONTENTS	vii
LIST OF TABLES	x
LIST OF FIGURES	xii
ABBREVIATIONS	xix
CHAPTER 1: INTRODUCTION	1
1.1 Scientific rationale	1
1.2 Scope of the thesis	2
1.3 Content of the thesis	3
CHAPTER 2: THEORETICAL CONSIDERATION AND LITERATURE REVIEW	5
2.1 Multicomponent polymers	5
2.1.1 Scope of multicomponent polymers.....	5
2.1.2 Comparison of various types of multicomponent polymers	7
2.2 Polymer blends	8
2.2.1 Reason for blending	8
2.2.2 Method of preparation of polymer blends	9
2.2.3 Category of polymer blends	11
2.2.4 Blend morphology	13
2.3 Expanded solid polymers	15
2.3.1 Theory of the expansion process	15
2.3.2 Production methods of expanded polymers	20

CONTENTS (continued)

	PAGE
2.3.3 Chemical composition of expanded polymers	24
2.3.4 Relationship between cell structure and properties of expanded polymers	30
2.3.5 Application for cellular materials	38
2.4 Literature review	42
CHAPTER 3: EXPERIMENTAL	51
3.1 Materials	51
3.2 Instruments	52
3.3 Foaming process	55
3.4 Physical measurements	56
3.4.1 Determination of decomposition temperature of the blowing agent	56
3.4.2 Thermogravimetric analysis (TGA)	56
3.4.3 Dynamic mechanical analysis (DMA)	57
3.4.4 Physical property measurements	57
3.4.5 Morphological studies	58
3.4.6 Characterization of cell structure of foam	59
3.5 Flow chart of the whole experiment	60
CHAPTER 4: RESULTS AND DISCUSSION	61
4.1 Selection of the suitable blowing agent activator loading by thermal analysis	61
4.1.1 Equipment setup for decomposition temperature measurement (EDTM).....	61
4.1.2 Thermogravimetric analysis (TGA)	62

CONTENTS (continued)

	PAGE
4.1.3 Comparison of the two method for the measurement of decomposition temperature.....	62
4.2 Determination of the distribution of natural rubber phase in high-density polyethylene phase.....	65
4.3 Factors affecting the dynamic mechanical properties of HDPE/NR foams	68
4.3.1 Effect of HDPE/NR ratio	68
4.3.2 Effect of blowing agent loading	69
4.4 Factors affecting the cell structures and mechanical properties of HDPE/NR foams	77
4.4.1 Effect of foaming time	77
4.4.2 Effect of blowing agent loading	86
4.4.3 Effect of HDPE/NR ratio	95
4.4.4 Effect of cross-linking agent loading	103
4.4.5 Effect of HDPE/NR ratio at a fixed cross-linking agent loading	112
4.5 Comparison of the mechanical properties of HDPE/NR foam with other materials	121
CHAPTER 5: CONCLUSIONS AND SUGGESTIONS	124
REFERENCES	126
APPENDICE	129
VITA	136

LIST OF TABLES

TABLE	PAGE
2.1 Characteristics of chemical blowing agents	27
2.2 Properties of expanded polyethylene at various densities	31
2.3 Application for polyolefin foams	41
3.1 Materials used in the present study	51
3.2 Steps and preparative conditions of HDPE/NR blends in foaming process.....	53
3.3 Formulation of polymer blends of HDPE/NR compounds	54
4.1 Comparison of the two methods for the measurements of decomposition temperature	63
4.2 Effect of HDPE/NR ratio on the dynamic mechanical properties of HDPE/NR foam	69
4.3 Effect of blowing agent loading on the dynamic mechanical properties of HDPE/NR foam.....	73
4.4 Effect of heating time on the cell structure and properties of HDPE/NR foams	78
4.5 Effect of blowing agent loading on the cell structure and mechanical properties of HDPE/NR foams	87
4.6 Effect of ratio HDPE/NR on the cell structure and mechanical properties of HDPE/NR foams	96
4.7 Effect of cross-linking agent loading on the cell structure and mechanical properties of HDPE/NR foams.....	104
4.8 Effect of HDPE/NR ratio at fixed cross-linking agent loading on the cell structure and mechanical properties of HDPE/NR foams	113
4.9 Comparison of the mechanical properties at the same ratio of HDPE/NR blends without cross-linking agent and with cross-linking agent	120

LIST OF TABLES (continued)

TABLE	PAGE
4.10 Comparison of some mechanical properties of HDPE/NR with another materials	122
4.11 Types of cellular polymer and their principal application	123

สถาบันวิทยบริการ
จุฬาลงกรณ์มหาวิทยาลัย

LIST OF FIGURES

FIGURE	PAGE
2.1 Schematic illustration of molecular and phase domain morphologies in various types of polymer blends	6
2.2 Schematic representation of temperature dependence of storage shear modulus for polymers A and B and their 50:50 mixture	12
2.3 Interrelation in polymer blend nomenclature	13
2.4 Different types of dispersion of a polymer in the matrix of an immiscible polymer	14
2.5 Conceptual illustration of an interpenetrating network of phases by showing the two interlocking materials separated from one another	14
2.6 Steps in preparation of cellular polymers	15
2.7 Relations governing cell growth and collapse	16
2.8 Idealized two-dimensional cellular structures at different stages of foam expansion	19
2.9 Flow diagram of extrusion process	21
2.10 Schematic diagram of tandem extruder	21
2.11 Accumulation extrusion system	22
2.12 Compression moulding technique	23
2.13 Flow diagram of radiation crosslink process	24
2.14 Chemical structure of azodicarbonamide (AZD)	26
2.15 Decomposition reactions of azodicarbonamide (AZD)	28
2.16 Isothermal gas evolution test data of activators for AZD at 170 °C	29
2.17 Isothermal gas evolution test data of moderate activators for AZD at 185 °C	29
2.18 Effect of density on flexural modulus of LDPE and HDPE foams	30

LIST OF FIGURES (continued)

FIGURE	PAGE
2.19 Compressive stress-strain curves of polyethylene foams with various fractions of open cells	32
2.20 Compressive strength VS. percentage open cells for polyethylene foams	32
2.21 Typical structure of (1) open, (2) closed, (3) reticulate cell foams	33
2.22 Tensile strength versus cell size	34
2.23 Elongation versus cell size	34
2.24 Tear strength versus cell size	35
2.25 Compression-deflection versus cell size	35
2.26 Role of window in compression	36
2.27 Effect of cell size on compression properties foam A-large cells and foam B-smaller cells	36
2.28 Compression-deflection properties of unbalanced foam	37
2.29 Typical effect of cell structure on rigid foam strength	37
2.30 Model describing the static vulcanization process in NR/LDPE blends	43
2.31 Model describing the dynamic vulcanization process in NR/LDPE blends	43
3.1 Equipment setup for decomposition temperature measurement	56
3.2 Rectangular sheet	57
3.3 Flow chart of the whole experiment	60
4.1 TGA thermogram of azodicarbonamide	64
4.2 SEM micrographs of toluene extracted blends: (a) 0 pphp NR, (b) 10 pphp NR, (c) 20 pphp NR, (d) 30 pphp NR, (e) 40 pphp NR, and (f) 50 pphp NR (series C)	66

LIST OF FIGURES (continued)

FIGURE		PAGE
4.3	The distribution of threads width from SEM micrographs	67
4.4	Dynamic mechanical spectra of HDPE/NR foam at 10 pphp NR content... 4.5 Dynamic mechanical spectra of HDPE/NR foam at 20 pphp NR content... 4.6 Dynamic mechanical spectra of HDPE/NR foam at 30 pphp NR content... 4.7 Dynamic mechanical spectra of HDPE/NR foam at 40 pphp NR content... 4.8 Dynamic mechanical spectra of HDPE/NR foam at 50 pphp NR content... 4.9 Dynamic mechanical spectra of HDPE/NR foam at 1.0 pphp blowing agent	70 70 71 71 72 74
4.10	Dynamic mechanical spectra of HDPE/NR foam at 2.0 pphp blowing agent	74
4.11	Dynamic mechanical spectra of HDPE/NR foam at 3.0 pphp blowing agent	75
4.12	Dynamic mechanical spectra of HDPE/NR foam at 4.0 pphp blowing agent	75
4.13	Dynamic mechanical spectra of HDPE/NR foam at 5.0 pphp blowing agent	76
4.14	Effect of heating time on foam density	79
4.15	Effect of heating time on hardness	79
4.16	Effect of heating time on tensile strength.....	80
4.17	Effect of heating time on elongation at break	80
4.18	Effect of heating time on tear strength	81
4.19	Effect of heating time on flexural strength	81
4.20	Effect of heating time on elastic modulus	82
4.21	The effect of heating time on cell size distribution of HDPE/NR foam	

LIST OF FIGURES (continued)

FIGURE	PAGE
(a) 10 min, (b) 15 min, (c) 20 min, (d) 25 min, and (e) 30 min (series A)	84
4.22 The effect of heating time on cell structures of HDPE/NR foam (a) 10 min, (b) 15 min, (c) 20 min, (d) 25 min, and (e) 30 min (series A).....	85
4.23 Effect of blowing agent loading on foam density	88
4.24 Effect of blowing agent loading on hardness	88
4.25 Effect of blowing agent loading on tensile strength	89
4.26 Effect of blowing agent loading on elongation at break	89
4.27 Effect of blowing agent loading on tear strength	90
4.28 Effect of blowing agent loading on flexural strength	90
4.29 Effect of blowing agent loading on elastic modulus.....	91
4.30 The effect of blowing agent loading on cell size distribution of HDPE/NR foam (a) 1.0 pphp, (b) 2.0 pphp, (c) 3.0 pphp, (d) 4.0 pphp, and (e) 5.0 pphp (series B)	93
4.31 The effect of blowing agent loading on cell structures of HDPE/NR foam (a) 1.0 pphp, (b) 2.0 pphp, (c) 3.0 pphp, (d) 4.0 pphp, and (e) 5.0 pphp (series B)	94
4.32 Effect of NR content on foam density	97
4.33 Effect of NR content on hardness	97
4.34 Effect of NR content on tensile strength	98
4.35 Effect of NR content on elongation at break	98
4.36 Effect of NR content on tear strength	99
4.37 Effect of NR content on flexural strength	99
4.38 Effect of NR content on elastic modulus	100

^v

LIST OF FIGURES (continued)

FIGURE	PAGE
4.39 The effect of NR content on cell size distribution of HDPE/NR foam (a) 10 pphp, and (b) 20pphp (series C)	101
4.40 The effect of NR content on cell structures of HDPE/NR foam (a) 10 pphp, (b) 20 pphp, (c) 30 pphp, (d) 40 pphp, and (e) 50 pphp (series C).....	102
4.41 Effect of cross-linking agent loading on foam density	105
4.42 Effect of cross-linking agent loading on hardness	105
4.43 Effect of cross-linking agent loading on tensile strength	106
4.44 Effect of cross-linking agent loading on elongation at break.....	106
4.45 Effect of cross-linking agent loading on tear strength	107
4.46 Effect of cross-linking agent loading on flexural strength	107
4.47 Effect of cross-linking agent loading on elastic modulus	108
4.48 Effect of cross-linking agent loading on gel content	108
4.49 The effect of cross-linking agent loading on cell size distribution of HDPE/NR foam (a) 0.4 pphp, (b) 0.6 pphp, (c) 0.8 pphp, and (d) 1.0 pphp (series D)	110
4.50 The effect of cross-linking agent loading on cell structures of HDPE/NR foam (a) 0.2 pphp, (b) 0.4 pphp, (c) 0.6 pphp, (d) 0.8 pphp, and (e) 1.0pphp (series D)	111
4.51 Effect of NR content at fixed cross-linking agent loading on foam density	114
4.52 Effect of NR content at fixed cross-linking agent loading on hardness	114
4.53 Effect of NR content at fixed cross-linking agent loading on tensile strength	115

LIST OF FIGURES (continued)

FIGURE	PAGE
4.54 Effect of NR content at fixed cross-linking agent loading on elongation at break	115
4.55 Effect of NR content at fixed cross-linking agent loading on tear strength	116
4.56 Effect of NR content at fixed cross-linking agent loading on flexural strength	116
4.57 Effect of NR content at fixed cross-linking agent loading on elastic modulus	117
4.58 Effect of NR content at fixed cross-linking agent loading on gel content	117
4.59 The effect of NR content at 0.6 pphp cross-linking agent on cell size distribution of HDPE/NR foam (a) 10 pphp, (b) 20 pphp, and (c) 30 pphp (series E)	118
4.60 The effect of NR content at 0.6 pphp cross-linking agent on cell structures of HDPE/NR foam (a) 10 pphp, (b) 20 pphp, (c) 30 pphp, (d) 40 pphp, and (e) 50 pphp (series E)	119
B1 TGA thermogram of azodicarbonamide activated by 0.1 pphp zinc oxide	131
B2 TGA thermogram of azodicarbonamide activated by 2.5 pphp zinc oxide	132
B3 TGA thermogram of azodicarbonamide activated by 5.0 pphp zinc oxide	133
B4 TGA thermogram of azodicarbonamide activated by 7.5 pphp zinc oxide	134

LIST OF FIGURES (continued)

FIGURE		PAGE
B5	TGA thermogram of azodicarbonamide activated by 10.0 pphp zinc oxide	135

ABBREVIATIONS

AZDC	Azodicarbonamide
DMA	Dynamic mechanical analysis
EDTM	Equipment for decomposition temperature measurement
EPW	Epolene wax
HDPE	High density polyethylene
NR	Natural rubber
pphp	part per hundred polymer
S	Sulphur
SEM	Scanning electron microscopy
Tg	Glass transition temperature
TGA	Thermogravimetric analysis
ZnO	Zinc oxide

สถาบันวิทยบริการ
จุฬาลงกรณ์มหาวิทยาลัย